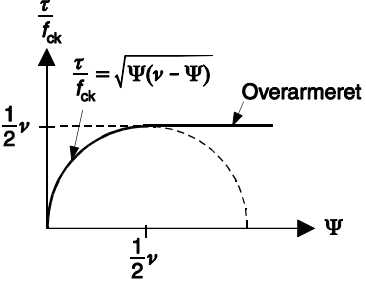


Rettelse til 1. udgave

Udgave: 2009-12-28



Side	Rettelse
50	Figuren i eksempel 3.1. Mållinjen med de 200 mm går fra forkant vederlag til enden af undersidearmering
95	Sidste 3 linier i eksempel 4.6 ændres til: Af (4.85): $\zeta = 1 - \beta \left(\frac{M_{cr}}{M} \right)^2 = 1 - 0,5 \left(\frac{65,4}{63} \right)^2 = 0,46$ Af (4.83): $\alpha = \zeta \alpha_{II} + (1 - \zeta) \alpha_I \Rightarrow u = 0,46 \cdot 11 + (1 - 0,46)7 = 9 \text{ mm}$
99	Linjerne med formlerne (4.90) og (4.91) og linjen imellem udgår og erstattes af: $s_{r,\max} = 29 \sqrt[3]{c} + 0,17 \frac{A_{c,\text{eff}}}{A_s} \varnothing \quad (4.90)$ Der gælder for armeringsafstande a_s , der opfylder $a_s \leq 5(c + \varnothing/2) \quad (4.91)$
100	De 2 øverste linjer udgår og erstattes af: Når (4.91) er opfyldt er revnevidderne knyttet til det man kalder det fine revnesystem, der optræder indenfor et område symmetrisk omkring armeringen. Såfremt afstanden overstiger værdien angivet i (4.91) vil revnevidderne være styret af det grove revnesystem, der normalt giver større revnevidder end det fine revnesystem. Beregning af revnevidder knyttet til det grove revnesystem er ikke dækket af DS/EN 1992-1-1.
100	Tekstafsnittet mellem formel (4.92) og figur 4.14 udgår
102	Linje 11 fra oven. Udtrykket for s_{\max} erstattes af: $s_{r,\max} = 29 \sqrt[3]{c} + 0,17 \frac{A_{c,\text{eff}}}{A_s} \varnothing = 29 \sqrt[3]{35} + 0,17 \frac{21,8 \cdot 10^3}{1206} 20 = 156 \text{ mm}$
102	Linje 4 fra neden erstattes af: $w_k = s_{r,\max} (\varepsilon_{sm} - \varepsilon_{cm}) = 156 \cdot 0,853 \cdot 10^{-3} = 0,13 \text{ mm}$
102	Nederste linje erstattes af: $w_k = s_{r,\max} (\varepsilon_{sm} - \varepsilon_{cm}) = 156 \cdot 1,0 \cdot 10^{-3} = 0,16 \text{ mm}$
104	Nederste linje ændres til: $\varepsilon_{c3} = 0,175\%$ for $f_{ck} \leq 50 \text{ MPa}$

105	<p>2. linje fra oven. Formlen ændres til:</p> $\varepsilon_{c3}(\%) = 0,175 + 0,055 \frac{f_{ck} - 50}{40} \quad (f_{ck} \text{ i MPa}), 50 < f_{ck} \leq 90 \text{ MPa} \quad (4.99)$																																			
105	<p>Tabel 4.2 ændres til:</p> <table border="1" data-bbox="379 427 1051 600"> <thead> <tr> <th>Styrkeklasse</th> <th>C12-C50</th> <th>C55</th> <th>C60</th> <th>C70</th> <th>C80</th> <th>C90</th> </tr> </thead> <tbody> <tr> <td>λ</td> <td>0,8</td> <td>0,79</td> <td>0,78</td> <td>0,75</td> <td>0,73</td> <td>0,70</td> </tr> <tr> <td>η</td> <td>1,0</td> <td>0,98</td> <td>0,95</td> <td>0,90</td> <td>0,85</td> <td>0,80</td> </tr> <tr> <td>ε_{cu3} (%)</td> <td>0,35</td> <td>0,31</td> <td>0,29</td> <td>0,27</td> <td>0,26</td> <td>0,26</td> </tr> <tr> <td>ε_{c3} (%)</td> <td>0,175</td> <td>0,18</td> <td>0,19</td> <td>0,20</td> <td>0,22</td> <td>0,23</td> </tr> </tbody> </table>	Styrkeklasse	C12-C50	C55	C60	C70	C80	C90	λ	0,8	0,79	0,78	0,75	0,73	0,70	η	1,0	0,98	0,95	0,90	0,85	0,80	ε_{cu3} (%)	0,35	0,31	0,29	0,27	0,26	0,26	ε_{c3} (%)	0,175	0,18	0,19	0,20	0,22	0,23
Styrkeklasse	C12-C50	C55	C60	C70	C80	C90																														
λ	0,8	0,79	0,78	0,75	0,73	0,70																														
η	1,0	0,98	0,95	0,90	0,85	0,80																														
ε_{cu3} (%)	0,35	0,31	0,29	0,27	0,26	0,26																														
ε_{c3} (%)	0,175	0,18	0,19	0,20	0,22	0,23																														
109	<p>5. sidste linje i eksempel 4.9: Henvielse til (4.110) rettes til (4.110a)</p>																																			
139	<p>Umiddelbart før afsnit 5.1.2 tilføjes: Formlen (5.19) gælder for $\psi \leq \frac{V}{2}$, mens bæreevnen er konstant for større forskydningsarmeringsgrader, dvs.:</p> $\tau = \frac{V}{2} \quad \text{for } \psi > \frac{V}{2} \quad (5.19a)$ <p>For at forstå dette kan (5.19) omskrives til</p> $\left(\frac{\tau}{f_{ck}}\right)^2 + \left(\psi - \frac{V}{2}\right)^2 = \left(\frac{V}{2}\right)^2 \quad (5.19b)$ <p>(5.19b) er en cirkel i et $\frac{\tau}{f_{ck}}, \psi$-koordinatsystem med cirkelns centrum i $\left(\frac{\tau}{f_{ck}}, \psi\right) = \left(0, \frac{V}{2}\right)$ og med radius lig med $\frac{V}{2}$. Den eksakte bæreevne er afbildet i efterfølgende fig. 5.5a, hvor man bemærker at en øget forskydningsarmering ud over $\psi = \frac{V}{2}$ altså ikke øger bæreevnen, svarende til at der overarmeres for forskydning. Det betyder at for så store armeringsmængder får man brud i betonen, uden der er flydning i armeringen.</p>  <p>Figur 5.5a: Forskydningsbæreevne for bjælke som vist i fig. 5.5</p>																																			
149	<p>I linjen umiddelbart før figuren ændres d til b_w, dvs. :</p> $\tau_{Ed,max} = \frac{V_{Ed,max}}{b_w z} = \frac{475 \cdot 10^3}{350 \cdot 597} = 2,27 \text{ MPa}$																																			

153	I de to nederste linjer på siden ændres d til b_w i nævneren
154	I de to øverste linjer på siden ændres d til b_w i nævneren
230	<p>Figur 8.2 erstattes af denne, mere nøjagtige figur:</p>